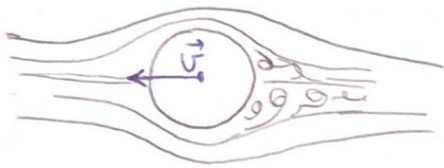


Oss

①

Se il CR si muove in aria la traiettoria non è più parabolica a cause dell'effetto Magnus



sfera non in rotaz.



forza delle
aria sulle
sfera

quantità
di moto trasf.
all'aria

Questo spiega "l'effetto"
a calcio il top-spin a tennis, ecc.

Nel seguito supporremo di avere rotazione attorno ad un
asse fisso di rotazione

Momento d'inerzia

- per la singola particella su un moto piano e circolare

$$\vec{L}_0 = m r^2 \vec{\omega} \quad \frac{d\vec{L}_0}{dt} = (m r^2) \vec{\alpha} = \vec{M}_0 \rightarrow \text{cause del moto rotazionale}$$

per analogie con $\vec{F} = m \vec{a}$ \rightarrow descriz. del moto rotazionale

$I = m r^2$ è detto momento d'inerzia ed esprime l'inerzia

- Se ho un insieme di particelle compaenari per rotazioni attorno al punto O

$$\vec{L}_0 = \sum_{j=1}^n \vec{L}_{0j} = \sum_{j=1}^n m_j r_j^2 \vec{\omega}$$

$$\frac{d\vec{L}_0}{dt} = \left(\sum_{j=1}^n m_j r_j^2 \right) \vec{\alpha}$$

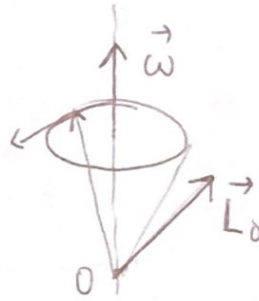
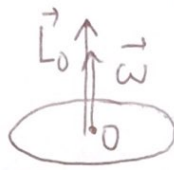
$I =$ momento d'inerzia

$$[I] = [L]^2 [T]^{-2} [M]^{-1} = [kg \cdot m^2]$$

Momento angolare assiale

(2)

- Considero una particella in moto circolare



Se il polo O non è complanare alla circonferenza, il mom. ang. ruota attorno all'asse di rotazione.

Ai fini dello studio della rotazione attorno all'asse, solamente la componente assiale è interessante.

Peraltro se vario il polo in O' lungo l'asse tale componente rimane costante ed è detta componente assiale del momento angolare

- per un CR vale un ragionamento analogo per il mom. angolare totale

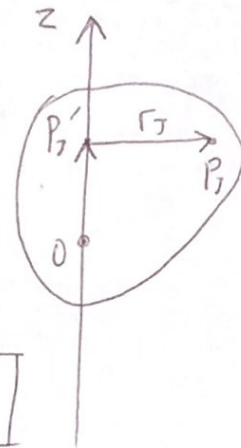
$$\begin{aligned}\vec{L}_O &= \sum_{j=1}^n m_j \vec{OP}_j \times \vec{v}_j = \sum_{j=1}^n m_j (\vec{OP}'_j + \vec{P}'_j \vec{P}_j) \times \vec{v}_j = \\ &= \underbrace{\sum_{j=1}^n m_j \vec{OP}'_j \times \vec{v}_j}_{\text{componente planare}} + \underbrace{\sum_{j=1}^n m_j \vec{P}'_j \vec{P}_j \times \vec{v}_j}_{\text{componente assiale}}\end{aligned}$$

componente planare (indipendente da O purché sia lungo l'asse)

$$L_{Oz} = \sum_{j=1}^n m_j r_j v_j =$$

$$= \left(\sum_{j=1}^n m_j r_j^2 \right) \omega = I \omega$$

$$\boxed{L_z = I \omega}$$



Energia cinetica

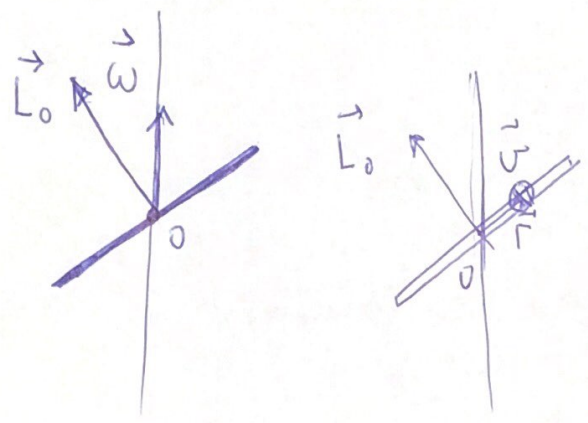
$$E_c = \frac{1}{2} \sum_{j=1}^n m_j v_j^2 = \sum_{j=1}^n \frac{1}{2} m_j r_j^2 \omega^2 = \boxed{\frac{1}{2} I \omega^2 = E_c}$$

Qss

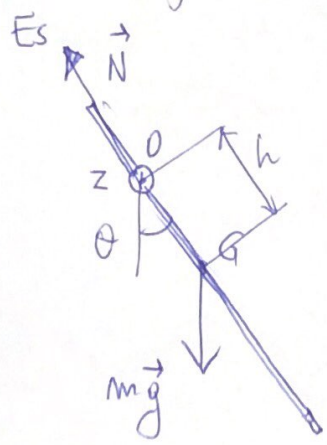
3

Il fatto che la componente assiale del mom. ang., sia prop. a ω , ossia $L_z = I\omega$ non implica che \vec{L} sia parallelo a $\vec{\omega}$. Tuttavia per qualsiasi corpo rigido esistono sempre tre direzioni perpendicolari fra di loro tali che \vec{L} e $\vec{\omega}$ sono paralleli. Se un corpo possiede un asse di simmetria allora questo è di questo tipo, detto asse principale d'inerzia.

Es



La relazione $L_z = I\omega$ consente di determinare l'evoluz. temporale di qualsiasi corpo rigido ruotante attorno ad un asse fisso.



$$\frac{dL_{z0}}{dt} = M_{z0}^{(E)} \quad L_{z0} = I\omega$$

↑ si può omettere

$$M_z^{(E)} = \frac{d}{dt} I\omega = I \frac{d\omega}{dt} = I\alpha$$

$M_z^{(E)} = -mgh \sin \theta = I \frac{d^2\theta}{dt^2}$	$M_z^{(E)} = I\alpha$
---	-----------------------

per piccole oscillazioni $\sin \theta \sim \theta$ si ottiene l'eq del moto armonico

$$I \frac{d^2\theta}{dt^2} = -mgh \theta$$

$$\omega^2 = \frac{mgh}{I}$$

$$T = \frac{2\pi}{\omega}$$

Qss se il CR è un P.
 $mgh I \approx mh^2$

Corpo rigido continuo

(4)

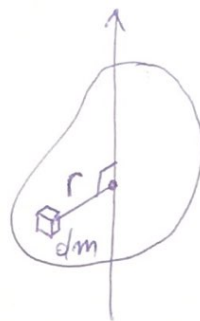
Sinora abbiamo considerato sistemi di un numero finito o numerabile di particelle e le quantità complessive erano somme del tipo $\sum_{j=1}^n$. Se il sistema è invece modellizzabile come un continuo, occorre modificare le espressioni ricavate mediante la densità di massa

$$\rho = \frac{dm}{dV} \quad dm = \rho dV \quad \rho = \rho(\vec{r}) = \rho(x, y, z)$$

Es 1

$$I = \sum_{j=1}^n r_j^2 m_j \rightarrow \int_V r^2 dm = \int_V r^2 \rho dV$$

$$I = \int_V r^2 \rho dV$$



Es 2

$$m = \sum_{j=1}^n m_j \Rightarrow \int_V dm = \int_V \rho dV$$

$$m = \int_V \rho dV$$

Es 3

$$\vec{r}_G = \frac{1}{m} \sum_{j=1}^n m_j \vec{r}_j \mapsto \frac{1}{m} \int_V \vec{r} dm = \frac{1}{m} \int_V \vec{r} \rho dV = \vec{r}_G$$

che, in componenti

$$x_G = \frac{1}{m} \int_V x \rho dV, \quad y_G = \frac{1}{m} \int_V y \rho dV, \quad z_G = \frac{1}{m} \int_V z \rho dV$$

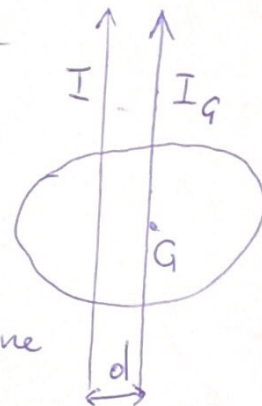
Es 4

$$\vec{L}_0 = \sum_{j=1}^n \vec{r}_j \times m_j \vec{v}_j \mapsto \int_V \vec{r} \times \vec{v} dm = \vec{L}_0$$

Teorema di Huygens-Steiner

(5)

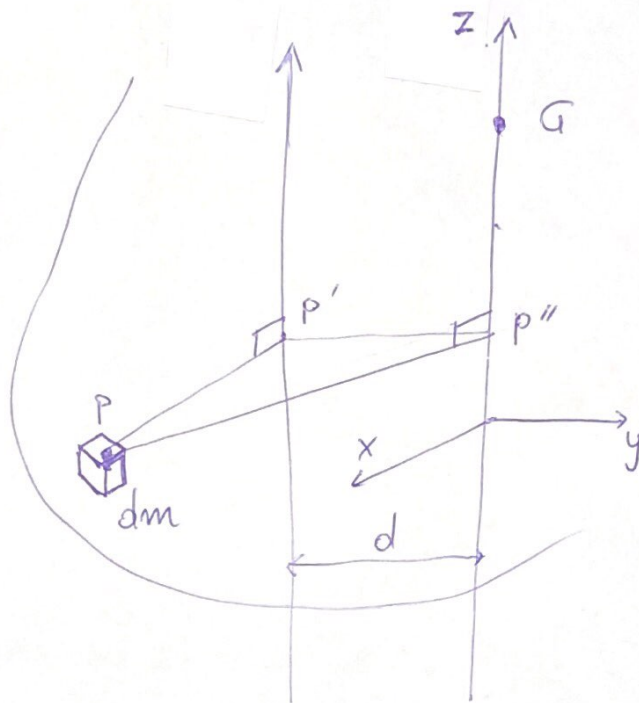
Permette di calcolare un generico momento d'inerzia se si conosce il momento d'inerzia baricentrico nella stessa direzione



$$I = I_G + m d^2$$

Dim

$$\begin{aligned} I &= \int_V |\vec{PP}''|^2 dm = \\ &= \int_V |\vec{PP}'' + \vec{P}''\vec{P}'|^2 dm = \\ &= \int_V |\vec{PP}''|^2 dm + \int_V |\vec{P}''\vec{P}'|^2 dm + \\ &+ 2 \int_V (\vec{PP}'' \cdot \vec{P}''\vec{P}') dm = \end{aligned}$$



$$\bullet \int_V |\vec{PP}''|^2 dm = I_G$$

$$\bullet \int_V \underbrace{|\vec{P}''\vec{P}'|^2}_{d^2} dm = d^2 \int_V dm = m d^2$$

$$\bullet \int_V (\vec{PP}'' \cdot \vec{P}''\vec{P}') dm = \left(\int_V \vec{PP}'' dm \right) \cdot \vec{P}''\vec{P}'$$

$$\int_V (\vec{PP}'')_z dm = 0 \quad \text{poiché } \vec{PP}'' \text{ giace sull'asse } xy$$

$$\int_V (\vec{PP}'')_x dm = m \underbrace{x_G}_0 \quad \int_V (\vec{PP}'')_y dm = m \underbrace{y_G}_0$$

$$\boxed{I = I_G + m d^2}$$

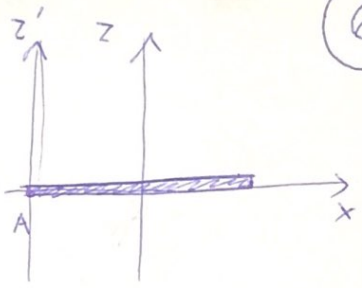
Oss
Il momento d'inerzia baricentrico è il più piccolo lungo una certa direz.

Calcolo di momenti d'inerzia

6

Es1 sbarra omogenea

$$I_G = \int_V x^2 dm = \int_{-L/2}^{+L/2} x^2 \lambda dx = \lambda \frac{2}{3} \frac{L^3}{2^3} = \frac{\lambda L^3}{12}$$



$$m = \lambda L \Rightarrow I_G = \frac{m L^2}{12}$$

densità lineare = $\lambda = \frac{dm}{dx}$
di massa

Se mi riferisco al punto A

$$I_A = m \left(\frac{L}{2}\right)^2 + I_G = \frac{m L^2}{4} + \frac{m L^2}{12} = \frac{m L^2}{3}$$

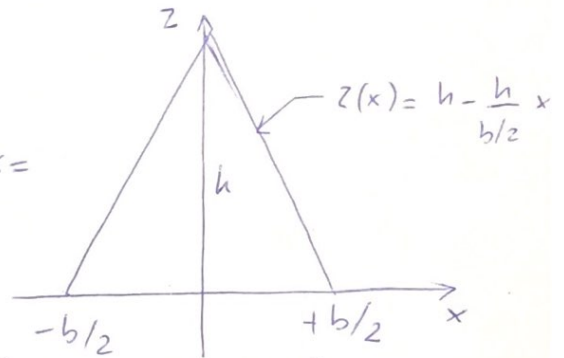
(4 volte più inerte)
alle rotazioni ⚡

Es2 piastra triangolare

$$I_G = \int_V x^2 dm = 2\sigma \int_0^{b/2} x^2 \left(h - \frac{2h}{b}x\right) dx =$$

$$= 2\sigma \left(\int_0^{b/2} h x^2 dx - \frac{2h}{b} \int_0^{b/2} x^3 dx \right) =$$

$$= 2\sigma \left[h \frac{b^3}{3 \cdot 8} - \frac{2h}{b} \frac{b^4}{4 \cdot 16} \right] = 2h b^3 \sigma \left[\frac{1}{24} - \frac{1}{32} \right] = \frac{h b^3}{4} \frac{\sigma}{12} = \frac{m b^2}{24}$$

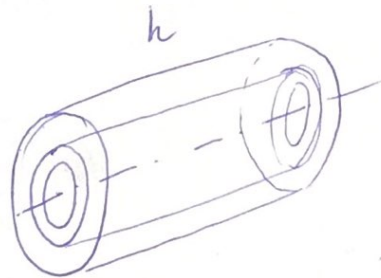


Es3 cilindro omogeneo

$$I_G = \int_0^R r^2 dm = \int_0^R r^2 \rho 2\pi r h dz =$$

$$= 2\pi h \rho \int_0^R r^3 dz = 2\pi h \rho \frac{R^4}{4} =$$

$$= \pi h \rho \frac{R^4}{2} = \frac{1}{2} m R^2$$



$$dm = \rho dV = \\ = \rho 2\pi r dz h$$

Lavoro nel caso di rotazione solamente

(7)

$$\int_{\theta_1}^{\theta_2} M_z(\theta) d\theta = \int_{t_1}^{t_2} M_z(t) \frac{d\theta}{dt} dt = \int_{t_1}^{t_2} I \frac{d\omega}{dt} \omega dt =$$

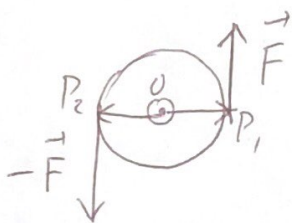
L) comp z delle somme
dei momenti

$$= \frac{I}{2} \int_{t_1}^{t_2} \frac{d}{dt} \omega^2 dt = \frac{I}{2} \omega^2(t_2) - \frac{I \omega^2(t_1)}{2} = \underbrace{E_c(t_2) - E_c(t_1)}_{\mathcal{L}(\theta_1 \rightarrow \theta_2)}$$

$$\boxed{\mathcal{L}(\theta_1 \rightarrow \theta_2) = \int_{\theta_1}^{\theta_2} M_z(\theta) d\theta}$$

$\mathcal{L}(\theta_1 \rightarrow \theta_2)$

Coppie di forze



Una coppia di forze non produce traslaz.

$$\vec{F} - \vec{F} = m \vec{a}_a = 0$$

ma solamente rotazione

$$\vec{M}_O^{(E)} = \vec{OP}_1 \wedge \vec{F} + \vec{OP}_2 \wedge -\vec{F} = 2 \vec{OP}_1 \wedge \vec{F}$$

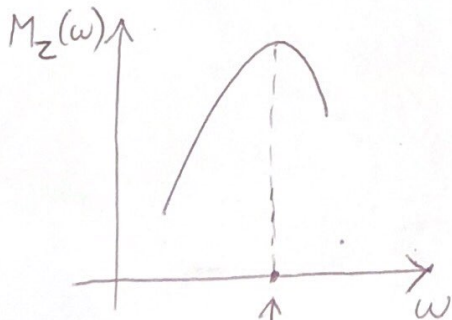
$$|\vec{M}_O^{(E)}| = 2R \cdot |\vec{F}| = \text{diametro} \cdot \text{forze}$$

Poiché non è detto che le \vec{F} vengono applicate sul bordo è meglio parlare sempre di momento

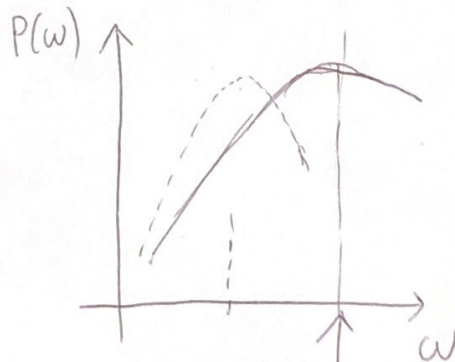
Potenza

$$d\mathcal{L} = M_z d\theta$$

$$P = \frac{d\mathcal{L}}{dt} = M_z \cdot \omega$$



numero di giri/min
dove si ha la coppia max



max giri/min